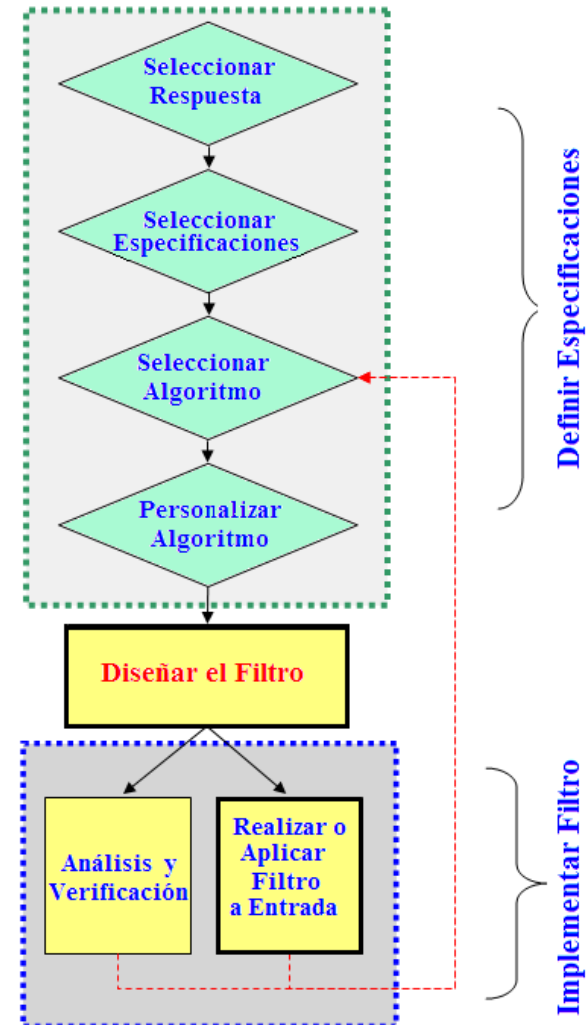
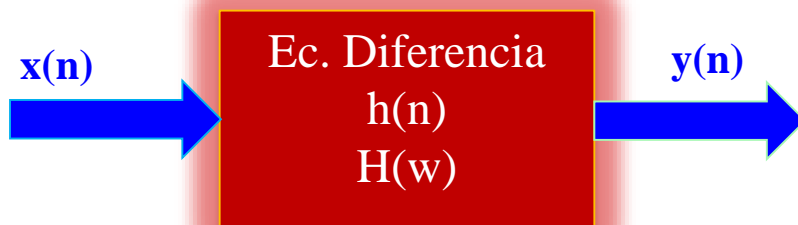
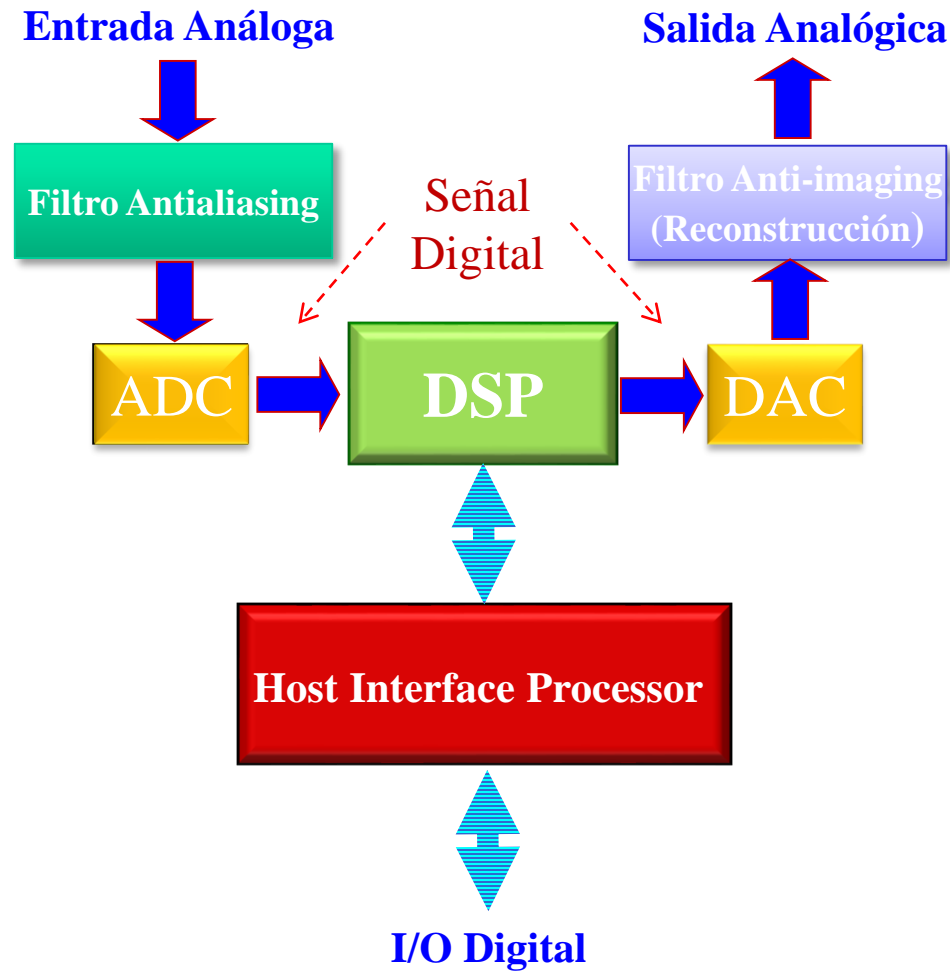


## ■ Introducción

- ▶ La **realización** de filtros corresponde al **cálculo de la salida** del filtro en **respuesta a cualquier entrada**.



## ■ Introducción...



## ■ Introducción...

- ▶ En el **Dominio Temporal** la **relación entrada-salida** está dada por la convolución,

$$y(n) = h(n) * x(n) = \sum_{k=N_1}^{N_2} h(k)x(n-k) \quad [ec.1]$$

donde  $N_1$  y  $N_2$  son los índices de la primera y última muestras diferentes de cero de  $h(n)$ .

## ■ Introducción...

- ▶ En el **Dominio Frecuencial** la convolución corresponde al producto de las transformadas,

$$Y(w) = H(w) X(w) \quad [ec.2]$$

- ▶ Puesto que la **T.F es continua** en  $w$ , se recurre a la **transformada discreta de Fourier DFT**,

$$Y(w_k) = H(w_k) X(w_k) \quad [ec.3]$$

$$\text{Donde: } w_k = (2\pi k / N_{DFT}), \quad k = 0, 1, \dots, N_{DFT}$$

## ■ Introducción ...

### ■ Observaciones

- NDFT es el tamaño de la DFT y corresponde al número de muestras en el periodo  $2\pi$ .
- $NDFT \geq \text{máx}\{\text{longitud de } x(n) + \text{longitud de } h(n) - 1\}$  para realizar la multiplicación punto a punto.
- La DFT puede calcularse muy eficientemente usando el algoritmo FFT.



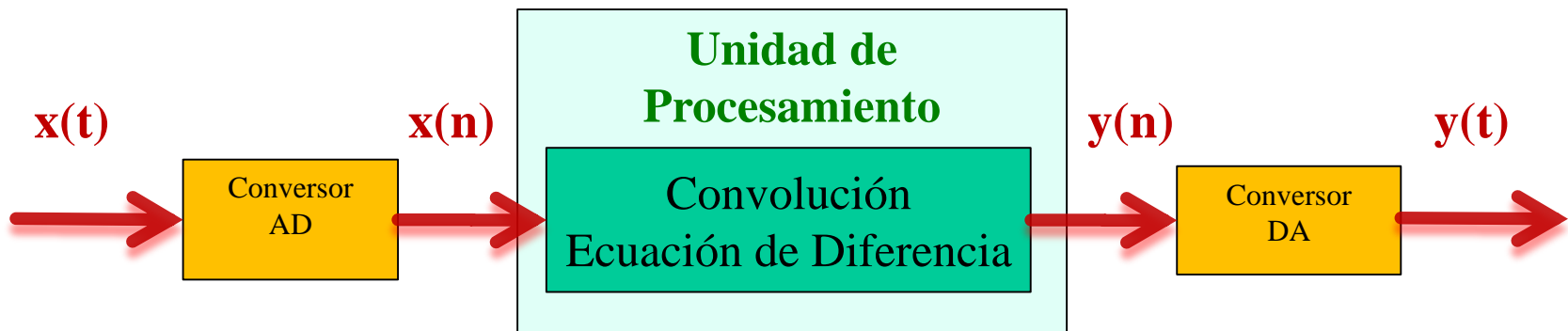
## ■ Realización de Filtros FIR

### ■ Introducción

- **Dominio Temporal:** el requerimiento de almacenamiento depende sólo de la longitud de  $h(n)$ .
- **Dominio frecuencial:** la capacidad de almacenamiento varía con el tamaño de la señal de entrada.

## ■ Realización de Filtros FIR

### ► Dominio Temporal:



### ► Convolución:

$$y(n) = h(n) * x(n) = \sum_{k=N_1}^{N_2} h(k) x(n-k)$$

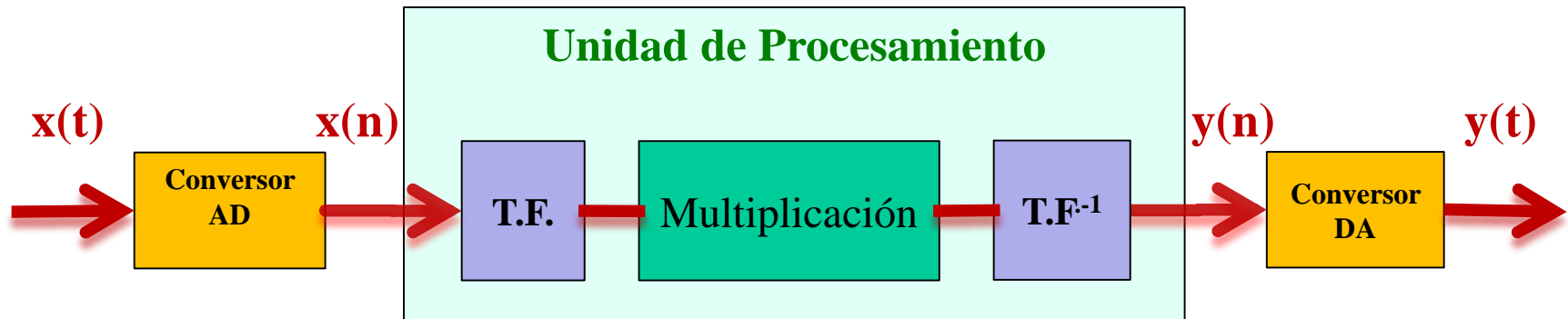
### ► Ecuaciones de Diferencia:

$$y(n) = \sum_{k=0}^M b_k x(n-k)$$

# Realización de Filtros FIR

## ■ Realización de Filtros FIR ..

### ► Dominio frecuencial



### ► Multiplicación:

$$Y(w) = H(w) X(w)$$

$$Y(w) = e^{-jwN_0} \frac{\sum_{k=0}^M b_k e^{-jwk}}{\sum_{k=0}^N a_k e^{-jwk}} X(w)$$



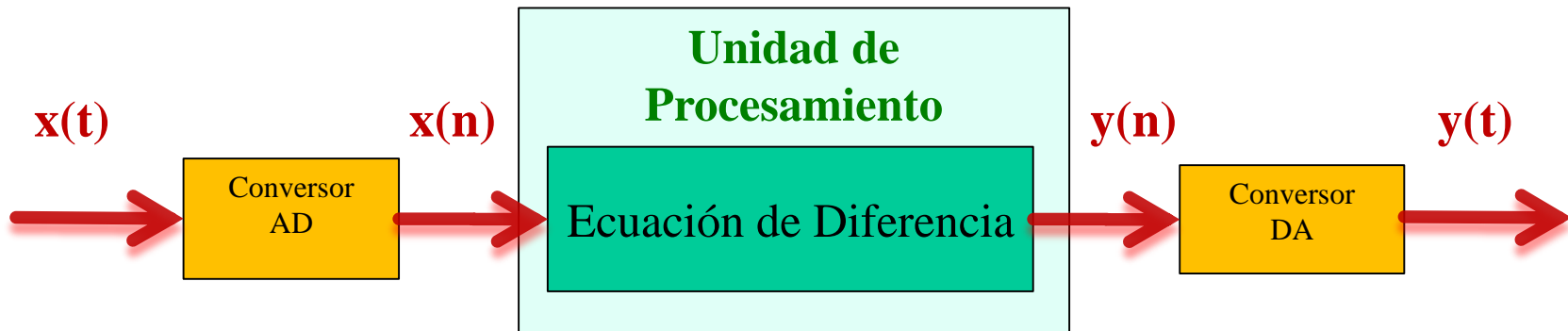
## ■ Realización de Filtros IIR

### ► Introducción

- La **convolución** **no** puede utilizarse por la longitud de  $h(n)$
- Se recurre a la **Transformada de Fourier** o a las **ecuaciones de diferencia**.

## ■ Realización de Filtros IIR ..

### ► Dominio Temporal:



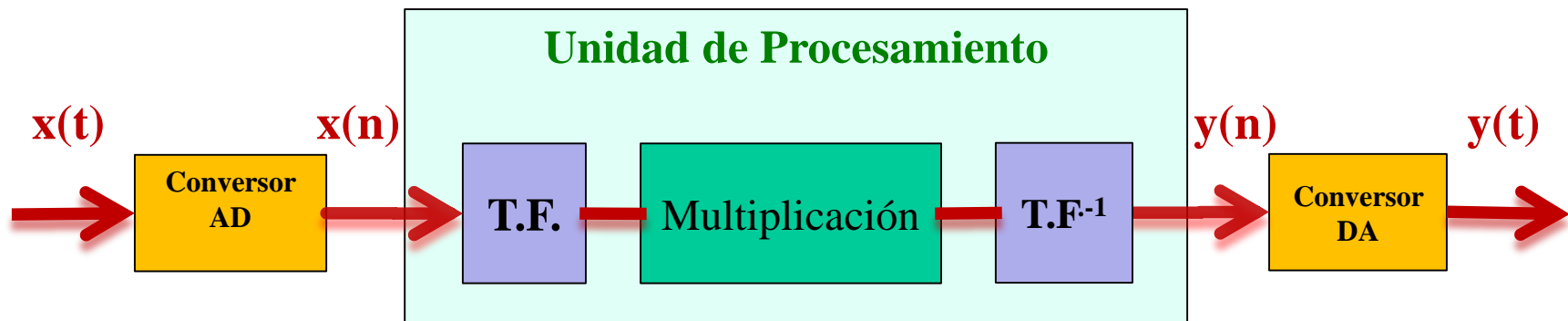
### ► Ecuaciones de Diferencia:

$$y(n) = \sum_{k=0}^M \frac{b_k}{a_0} x(n-k) - \sum_{k=1}^N \frac{a_k}{a_0} y(n-k) \quad \text{para } n \geq n_0$$

Requiere N condiciones *iniciales*:  $y(n_0 - 1), \dots, y(n_0 - N)$ .

## ■ Realización de Filtros IIR ..

### ► Dominio frecuencial:



### ► Multiplicación:

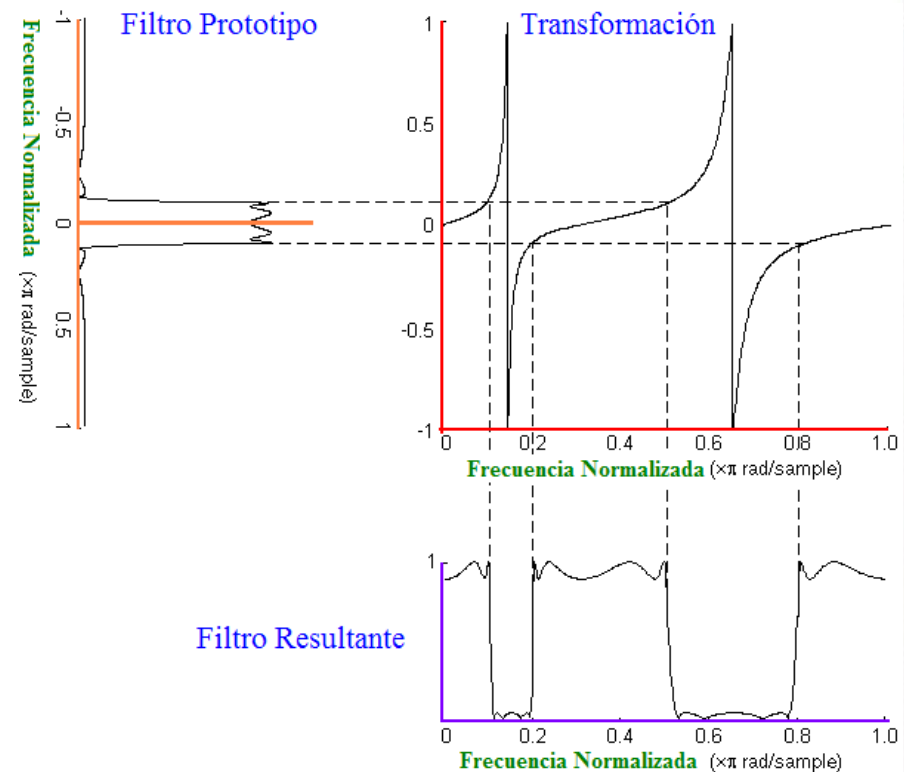
$$Y(w) = H(w) X(w)$$

$$Y(w) = e^{-jwN_0} \frac{\sum_{k=0}^M b_k e^{-jwk}}{\sum_{k=0}^N a_k e^{-jwk}} X(w)$$

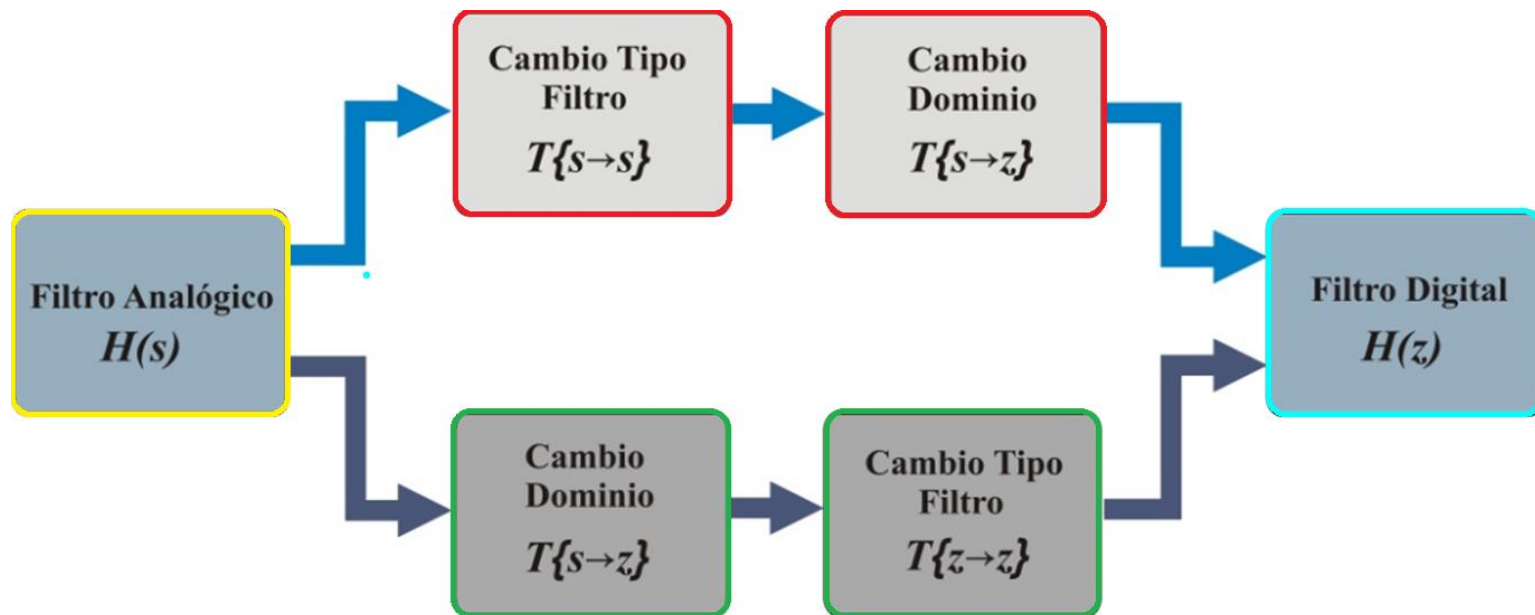
# Transformaciones de Frecuencia

## ■ Introducción

- El estudio de filtros IIR se centra en el diseño de filtros paso-bajo.
- La obtención de un filtro PA, PB, BR se realiza fácilmente aplicando una transformación de frecuencia a un prototipo PB.
- Existen transformaciones de frecuencia en el dominio analógico y digital



## ■ Introducción...





## ■ Transformaciones de Frecuencia en el Dominio Analógico

Tipo de Transformación	Transformación	Frecuencias de Corte Filtro nuevo	Observaciones
Paso Bajo	$s \rightarrow \frac{\Omega_p}{\Omega'_p} s$	$\Omega'_p$	$\Omega_p$ Frecuencia de corte filtro prototipo
Paso Alto	$s \rightarrow \frac{\Omega_p \Omega'_p}{s}$	$\Omega'_p$	
Paso Banda	$s \rightarrow \Omega_p \frac{s^2 + \Omega_i \Omega_s}{s(\Omega_s - \Omega_i)}$	$\Omega_i, \Omega_s$	$\Omega_i$ Frecuencia de corte inferior $\Omega_s$ Frecuencia de corte superior
Rechaza Banda	$s \rightarrow \Omega_p \frac{s(\Omega_s - \Omega_i)}{s^2 + \Omega_i \Omega_s}$	$\Omega_i, \Omega_s$	$\Omega_i$ Frecuencia de corte inferior $\Omega_s$ Frecuencia de corte superior

## ■ Transformaciones de Frecuencia en el Dominio Digital

Tipo de Transformación	Transformación	Frecuencias de Corte Filtro nuevo	Observaciones
Paso Bajo	$z^{-1} \rightarrow \frac{z^{-1} - \beta}{1 - \beta z^{-1}}$	$\omega'_c$	$\beta = \frac{\sin[(\omega_c - \omega'_c)/2]}{\sin[(\omega_c + \omega'_c)/2]}$
Paso Alto	$z^{-1} \rightarrow -\frac{z^{-1} + \beta}{1 + \beta z^{-1}}$	$\omega'_c$	$\beta = \frac{-\cos[(\omega_c + \omega'_c)/2]}{\cos[(\omega_c - \omega'_c)/2]}$
Paso Banda	$z^{-1} \rightarrow -\frac{z^{-2} - \beta_1 z^{-1} + \beta_2}{\beta_2 z^{-2} - \beta_1 z^{-1} + 1}$	$\omega_i, \omega_s$	$\omega_i$ Frecuencia de corte inferior $\omega_s$ Frecuencia de corte superior $\beta_1 = -2\gamma K / (K + 1)$ $\beta_2 = (K - 1) / (K + 1)$ $\gamma = \frac{\cos[(\omega_s + \omega_i)/2]}{\cos[(\omega_s - \omega_i)/2]}$ $K = \cot \frac{(\omega_s - \omega_i)}{2} \tan \frac{\omega_c}{2}$
Rechaza Banda	$z^{-1} \rightarrow \frac{z^{-2} - \beta_1 z^{-1} + \beta_2}{\beta_2 z^{-2} - \beta_1 z^{-1} + 1}$	$\omega_i, \omega_s$	$\omega_i$ Frecuencia de corte inferior $\omega_s$ Frecuencia de corte superior $\beta_1 = -2\gamma / (K + 1)$ $\beta_2 = (1 - K) / (1 + K)$ $\gamma = \frac{\cos[(\omega_s + \omega_i)/2]}{\cos[(\omega_s - \omega_i)/2]}$ $K = \tan \frac{(\omega_s - \omega_i)}{2} \tan \frac{\omega_c}{2}$

## ■ Observaciones

- El diseñador puede *elegir* transformaciones en frecuencia en el dominio analógico o digital.
- Las *transformaciones* en el dominio *digital* son apropiadas para filtros IIR, pues si se aplican a filtros FIR se obtendrá un filtro IIR.
  - *Método Invarianza al Impulso y Aproximación de Derivadas*
    - Transformación *final* en el dominio digital para evitar el problema de aliasing en filtros paso alto y filtros paso banda.
  - *Método de Transformación Bilineal*
    - No presenta inconveniente el orden de aplicación.

## ■ Ejemplo

- Diseñar mediante la T. Bilineal un filtro **paso-banda digital** a partir de un filtro prototipo **paso-bajo Butterworth analógico** de **orden dos** y punto de potencia mitad en  $\Omega_p = 1$ , definido como:

$$H(s) = \frac{1}{s^2 + \sqrt{2}s + 1}$$

```
% Función de Transferencia del Filtro H(s)
```

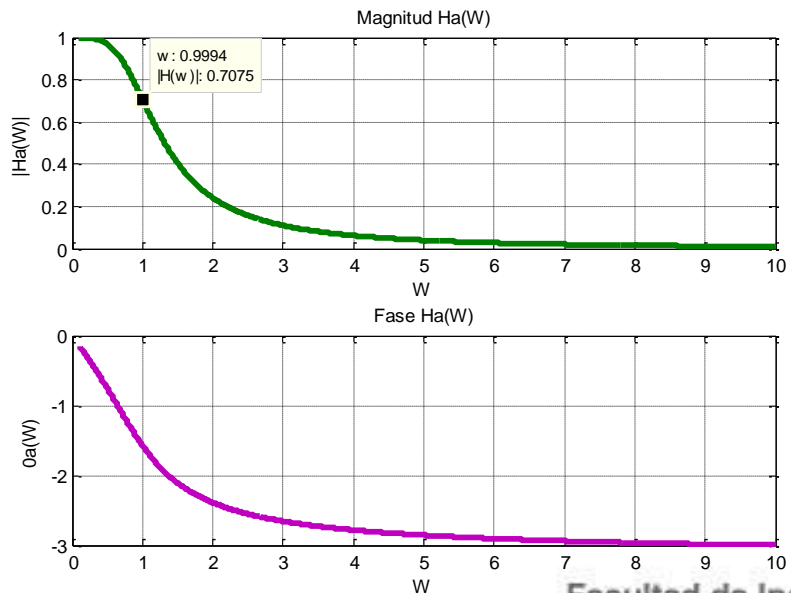
```
K_a=1;  
num_a=K_a*[0 0 1];  
den_a=[1 sqrt(2) 1];
```

```
% Respuesta en Frecuencia H(W)
```

```
[Ha,W]=freqs(num_a,den_a, 4*1024);  
Hmaga=abs(Ha);  
Hanga=angle(Ha);
```

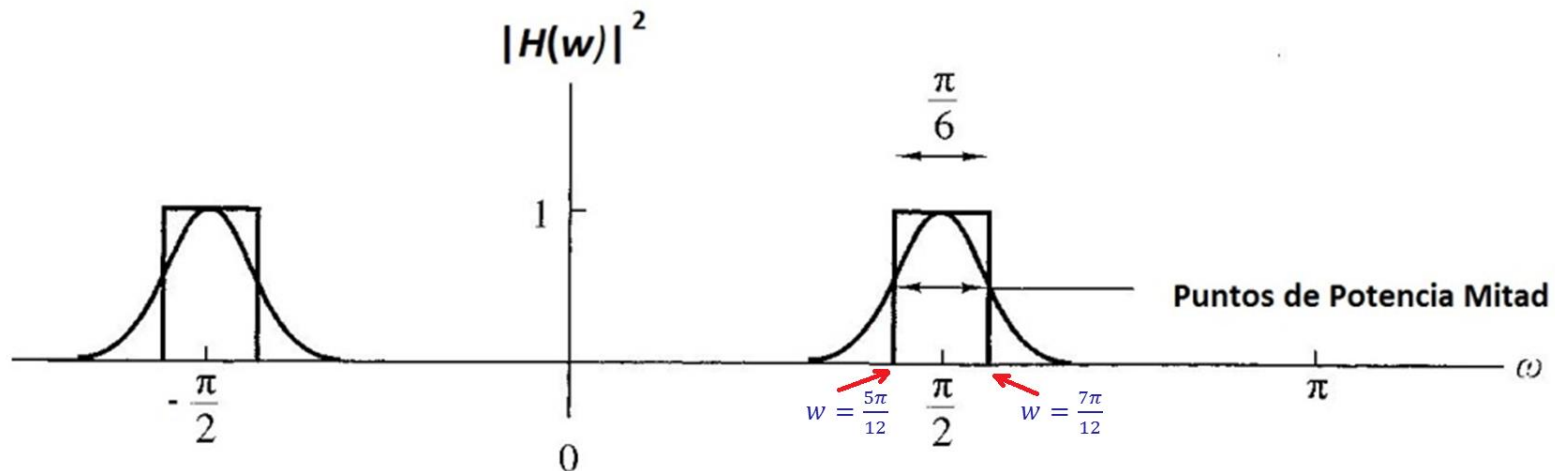
```
% Graficación
```

```
subplot(2,1,1);  
plot(W,Hmaga);  
grid on; xlabel('W'); ylabel('|Ha(W)|');  
title('Magnitud Ha(W)')  
subplot(2,1,2);  
plot(W,Hanga); grid on; xlabel('W');  
ylabel('Oa(W)'); title('Fase Ha(W)')
```



## ■ Ejemplo ...

- Las frecuencias de corte (medidas en los puntos de potencia mitad) para el filtro digital deben estar en  $\omega = \frac{5\pi}{12}$  y  $\omega = \frac{7\pi}{12}$ .
- El sistema digital tiene una frecuencia de muestreo  $f_s = 0,5$  y las especificaciones del filtro digital se ilustran en la siguiente figura.





## ■ Solución

- Mediante la ecuación de frecuencias de la T. Bilineal se obtienen las especificaciones frecuenciales del filtro analógico paso-banda:

$$\Omega = \frac{2}{T} \tan\left(\frac{\omega}{2}\right)$$

$$\Omega_L = \frac{2}{2} \tan\left(\frac{5\pi/12}{2}\right) = 0.7673 \quad y \quad \Omega_U = \frac{2}{2} \tan\left(\frac{7\pi/12}{2}\right) = 1.3032$$

- La conversión de **paso-bajo** a **paso-banda** está dado por:

$$s = \Omega_p \frac{s^2 + \Omega_L \Omega_U}{s(\Omega_U - \Omega_L)} = \frac{s^2 + 1}{0.5359 s}$$

## ■ Solución ...

- Reemplazando la T. Bilineal  $s = \frac{2}{T} \frac{1-z^{-1}}{1+z^{-1}}$  en la ecuación de conversión analógica, con  $T = 2$ , se obtiene:

$$s = \frac{(1 - z^{-1})^2 + \Omega_u \Omega_L (1 + z^{-1})^2}{(1 - z^{-2})(\Omega_u - \Omega_L)} = 3.7321 \frac{(1 + z^{-2})}{(1 - z^{-2})}$$

- El filtro digital se obtiene reemplazando la ecuación anterior en el filtro prototipo paso-bajo analógico:

$$H(z) = H(s) \Big|_{s=3.7321 \frac{(1+z^{-2})}{(1-z^{-2})}}$$

## ■ Solución ...

■ De donde,

$$H(z) = \frac{1}{20,2065} \frac{(1 - z^{-2})^2}{1 + 1,2796 z^{-2} + 0,4776 z^{-4}}$$

■ Filtro de cuarto orden estable y con polos en:

- $z_1 = -0.1601 + 0.8157j$
- $z_2 = -0.1601 - 0.8157j$
- $z_3 = 0.1601 + 0.8157j$
- $z_4 = 0.1601 - 0.8157j$

## ■ Solución ...

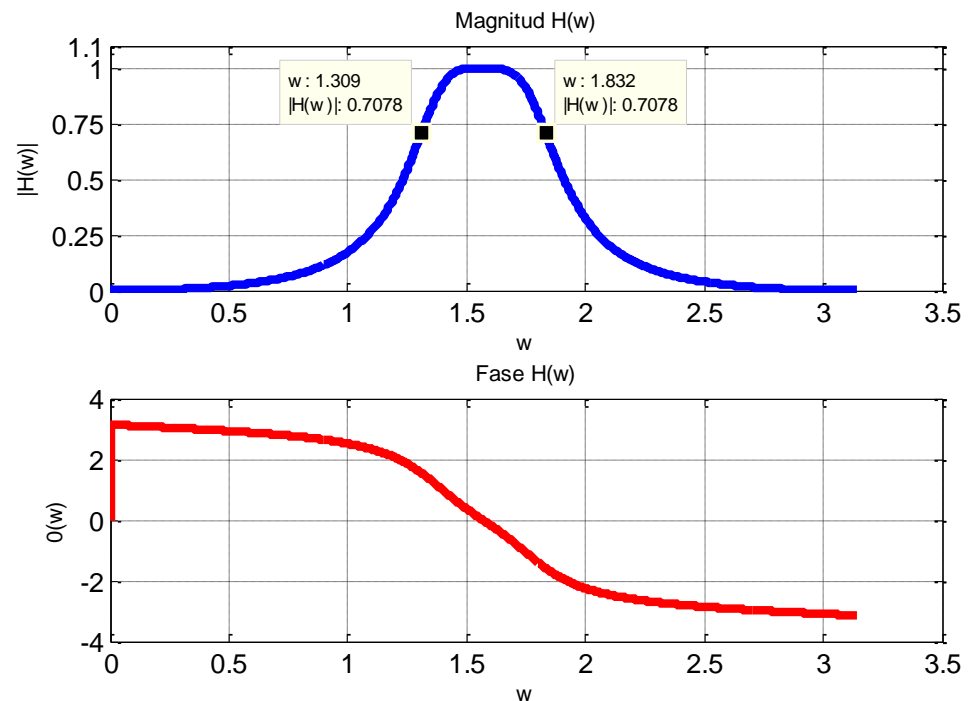
- La respuesta en Frecuencia se obtiene como:

$$H(w) = H(z)|_{z=e^{jw}}$$

```
% Función de Transferencia del Filtro
H(z)
K=1/20.2065;
num= K* [1 0 -2 0 1];
den=[1 0 1.2796 0 0.4776];

% Respuesta en Frecuencia H(w)
[H,w]=freqz(num,den, 4*1024);
Hmag=abs(H);
Hang=angle(H);

% Graficación
subplot(2,1,1);
plot(w,Hmag); grid on; xlabel('w');
ylabel('|H(w)|'); title('Magnitud H(w)')
subplot(2,1,2);
plot(w,Hang); grid on; xlabel('w');
ylabel('O(w)'); title('Fase H(w)')
```







PSI Percepción y Sistemas Inteligentes

# *Fin Asignatura*



**Universidad del Valle**

Facultad de Ingeniería  
Escuela de Ingeniería Eléctrica y Electrónica

[humberto.loaiza@correounivalle.edu.co](mailto:humberto.loaiza@correounivalle.edu.co)



